ОСОБЕННОСТИ СТРУКТУРЫ ПЕРЕХОДНОГО СЛОЯ СИСТЕМЫ Mo/Si, ОБЛУЧЕННОЙ ИОНАМИ ФОСФОРА

Ю.П. Снитовский 1), Л.П. Ходарина 2)

¹⁾ОАО «Интеграл», ул. Казинца И.П. 121А, 220108 Минск, Беларусь, yu.snitovsky@tut.by
²⁾Физико-технический институт НАН Беларуси,
ул. Купревича 10, 220141 Минск, Беларусь, lud_vik@bk.ru

Рассмотрены вопросы влияния дозы легирования Si(111) ионами P⁺, влияния постимплантационного отжига легированного Si и отжига системы Mo/Si, а также облучения ионами P⁺ сформированных омических контактов системы Mo/Si и низкотемпературной термообработки на структуру и фазовый состав переходного слоя.

Введение

Ионная имплантация является основным методом создания локальных легированных областей в Si [1, 2]. Внедрение ионов приводит к образованию дефектов.

В [2] рассмотрен пошаговый метод получения ионнолегированных слоев Si. Так, доза $1.1\cdot 10^{14}$ см $^{-2}$ ионов P+ с E=1 МэВ набиралась в 4 шага по $2.8\cdot 10^{13}$ см $^{-2}$. При этом дефектность легированных слоев Si снижалась с ростом числа шагов имплантации. В [3], используя протоны, предложен похожий метод. В [4] показано, что наличие естественной пленки SiO₂ оказывает влияние на протекающие на границе раздела Mo/Si процессы фазовых превращений и на воспроизводимость $\rho_{\rm K}$ контактов.

Целью работы является изучение влияния облучения ионами Р+ на структуру переходного слоя контактной системы Mo/Si.

Методика проведения исследований

Легирование кремниевых эпитаксиальных однослойных структур 7КЭФ1.5/380ЭКЭС0.01 (111) ионами P^+ проводили при E_1 =40 кэВ, а системы Mo/Si — при E_2 =100 кэВ. Дозу изменяли от $6\cdot10^{13}$ до $6\cdot10^{15}$ см 2 . После легирования образцы подвергали отжигу при 900-1150°С в атмосфере O_2 в течение 600 с. Методы и образцы для исследований структуры ионнолегированных слоев Si, фазового состава переходных слоев приведены в [5].

Результаты исследований

Структура переходного слоя системы Mo/Si зависит от состояния поверхности Si, используемого для изготовления структур СВЧтранзисторов перед проведением операций ионного легирования, постимплантационного отжига и нанесением пленки Mo.

Имплантация ионов P^+ при $D=6.25\cdot 10^{14}$ см $^{-2}$ приводит к аморфизации поверхностного слоя Si (рис. 1). Разупорядоченный слой имеет небольшую толщину и, судя по наличию рефлексов, ниже его лежат слои, сохраняющие совершенную структуру. Влияние дозы легирования Si ионами P^+ и $T_{\text{отж}}$ на структуру поверхностного слоя Si показано на рис. 2, 3. В процессе отжига, необходимого для перевода P в узлы решетки, часть точечных дефектов перестраивается в крупные структурные образы - так называемые остаточные нарушения. При отжиге вакансии собираются в плоские диски.



Рис. 1. Электронограмма поверхностного слоя Si(111) после имплантации ионов $\mathsf{P}^{\scriptscriptstyle +}$

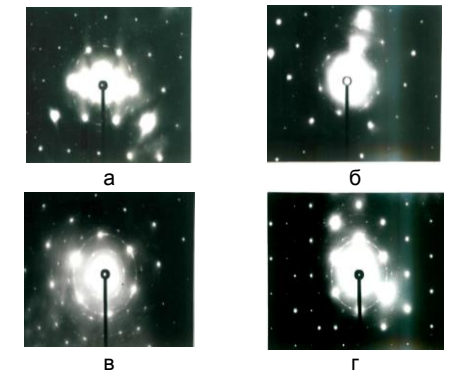


Рис. 2. Электронограммы поверхностного слоя Si(111) после имплантации ионов P^+ . Доза легирования Si ионами P^+ : а, $6-6.25\cdot10^{13}$ см²; в, $r-6.25\cdot10^{15}$ см²; отжиг: а, в -940° C; б, $r-1150^{\circ}$ C.

Когда их размер достигает критического, происходит схлопывание соседних с вакансионным диском атомных плоскостей с образованием дислокационной петли.

На всех электронограммах наряду с сильными точечными рефлексами от плоскостей ориентации (220), (440) и плоскостей с большими индексами зоны [111] видны рефлексы в виде коротких узких дужек от плоскостей (111) и точечные рефлексы в виде цепочек от плоскостей (220). При малых дозах легирования Si поверхностный слой в случае Т_{отж} = 940°С имеет блочную структуру с углами разориентации блоков до 10°. Изменение Тотж не оказывает заметного влияния на структуру поверхностного слоя Si (рис. 2a, б). Электронограммы свидетельствуют о том, что при D~6.25·10¹³ см⁻² происходит сильное разупорядочение кристаллической решетки Si, которое приводит к образованию блочной структуры. При увеличении D≥6.25·10¹⁴ см² наступает аморфизация Si. Рекристаллизация аморфного Si при отжиге приводит к образованию поликристаллической фазы, размер зерна которой зависит от Тотж. При дозе легирования (6.25-9.375)·10¹⁵ см⁻² ионами Р+ после отжига при 900-940 С поверхностный слой состоит из поли-Si, включающего кристаллиты произвольной ориентации (рис. 2в), а после отжига при 1150°С в результате рекристаллизации образуется слой поли-Si с большими размерами зерен (рис. 2г).

Установлено, что при ориентации длинной стороны окна шириной b в SiO_2 по направлению <110> образующиеся при отжиге внеконтурные дислокации распространяются за пределы окна только с одной его стороны (рис. 3а), что обусловлено особенностями расположения плоскостей скольжения дислокаций относительно плоскости (111) кристаллической решетки Si [6].

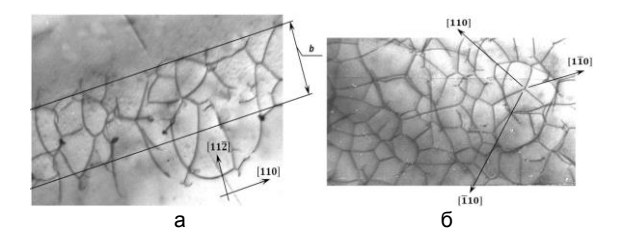
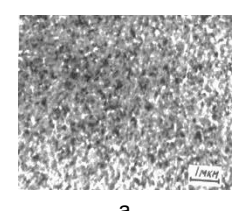


Рис. 3. Дислокационная структура в активной области Si(111): а — доза имплантации P $^+$ 6.25·10 14 см 2 , $T_{\text{отж}}=1150^{\circ}$ C; б — доза имплантации P $^+$ 6.25·10 14 см 2 , доза легирования 3.125·10 15 см 2 системы Mo/Si, $T_{\text{отж}}=500^{\circ}$ C

Для уменьшения влияния внеконтурных дислокаций на параметры и надежность СВЧтранзисторов желательно ориентировать более длинную сторону окна по направлению <110> [7].

Пленка Мо до отжига имеет мелкодисперсную структуру с размером зерна 0.1-0.2 мкм (рис. 4а). Микроэлектронограмма свидетельствует, что пленка состоит из множества произвольно ориентированных кристаллитов (рис. 4б).



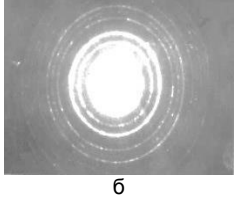


Рис. 4. Структура (а) и микроэлектронограмма (б) пленки Мо до термообработки

Расшифровка электронограммы, приведенной на рис. 5а, показала, что переходной слой системы Mo/Si до отжига при легировании Si высокими дозами P^+ (6.25·10¹⁵ cm⁻²) включает слои поли-Si, Мо и оксида Mo_4O_{11} , который образуется при напылении пленки Mo_5 .

Помимо крупнокристаллического слоя в поверхностном слое образуется также мелкодисперсный слой Si, о чем свидетельствует наличие кольцевых рефлексов, объединяющих мелкие точечные рефлексы, принадлежащие крупнокристаллическому слою Si. Поверх Si в зависимости от режимов имплантации и отжига примеси формируется слой блочного Si, включающий крупнокристаллический и мелкодисперсный слои Si, на поверхности которых расположены тонкие (~1-4 нм) слои оксидов Si и Mo, контактирующие с пленкой Mo.



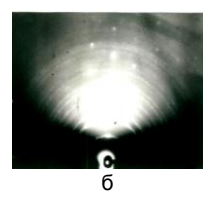
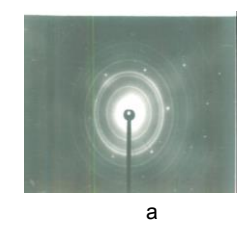


Рис. 5. Электронограмма переходного слоя системы Mo-Si (доза легирования ионами P^+ 6.25·10¹⁵ см²): a- до отжига; 6- после отжига при 600° С в вакууме

Отжиг при 500° С в вакууме приводит к росту зерна пленки Мо до 0.2 мкм. Происходит перестройка межзеренных границ. На электронограммах видны сильные кольцевые рефлексы, пересекающие цепочки точечных рефлексов, что указывает на процесс упорядочения структуры пленки Мо по сравнению с исходной пленкой Мо. Кроме того, имеется ряд слабых колец, принадлежащих фазам $MoSi_2$ с гексагональной кристаллической решеткой и Mo_3Si .

При низких дозах легирования $(6.25\cdot10^{13}~\text{см}^2)$ Si на границе раздела идентифицированы оксиды MoO₃ и Mo₄O₁₁. Однако при $T_{\text{отж}}$ = 600°C помимо оксидов за счет диффузии атомов Si в пленку Мо формируется тонкий слой фазы Mo₃Si (рис. 5б). При $T_{\text{отж}}$ = 600°C в течение 720 с системы Mo/Si, у которых Si легирован P+ D = $4.375\cdot10^{15}~\text{см}^2$, наряду с фазами Mo₃Si и MoSi₂ обнаружено присутствие фазы MoO₂ (рис. 6а).

Легирование Si ионами P+ c D = $6.25 \cdot 10^{15}$ см² вызывает образование при отжиге в переходном слое контактов крупнозернистого слоя, состоящего из MoSi₂ и Mo₃Si. Особенностью в этом случае является отсутствие оксидов Мо и образование дисилицида MoSi₂ с тетрагональной кристаллической решеткой (рис. 66).



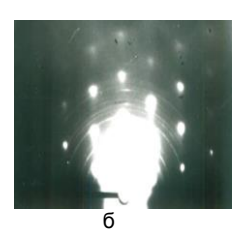


Рис. 6. Электронограммы переходного слоя системы Mo/Si, легированной ионами P⁺ после отжига: a- доза $4.375\cdot10^{15}$ см², $T_{\text{отж}}=600^{\circ}\text{C}$ в вакууме в течение 720 с; 6- доза $6.25\cdot10^{15}$ см², $T_{\text{отж}}=600^{\circ}\text{C}$ в вакууме в течение 600 с

Облучение системы Mo/Si ионами P+ приводит к появлению размытых рефлексов от пленки Mo и от поверхностного слоя Si (рис. 7), что свидетельствует о сильном разупорядочении структуры пленки Mo и поверхностного слоя Si, в результате чего значительно возрастает $\rho_{\rm k}$ контактов [8]. Установлено, что на границе раздела Mo/Si образуется переходная область, которая при D = $6.25\cdot10^{14}$ см- 2 содержит слой со структурой, близкой к аморфной, а при более высоких дозах – поли-Si. При этом толщина поли-Si может достигать десятков нанометров.

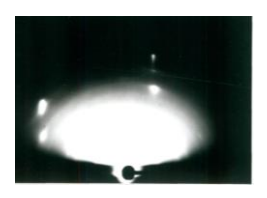
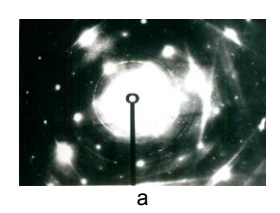


Рис. 7. Электронограмма поверхностного слоя Si после внедрения ионов P^+ через пленку Mo

В процессе последующего отжига происходит упорядочение структуры и формирование в переходном слое системы новых фаз (силицидов и фосфидов молибдена). Так, при облучении системы Mo/Si ионами P^+ с $D=6.25\cdot10^{14}$ см $^{-2}$ и отжиге при 300° C в переходном слое образуется Si_3Mo_5 с гексагональной кристаллической решеткой, сверхструктура Mo_3Si [9] и $MoP_{0.75}$ (рис. 8a, 6).



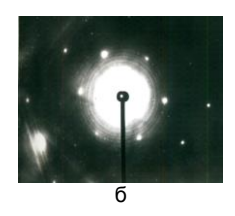


Рис. 8. Электронограммы переходного слоя системы Mo/Si после облучения ионами P+ и отжига: а - доза $6.25\cdot10^{14}$ см $^{-2}$, $T_{\text{отж}}$ = $300^{\circ}\text{C};$ б - доза $3.125\cdot10^{15}$ см $^{-2},$ $T_{\text{отж}}$ = 500°C

Увеличение дозы легирования ионами P^+ до $3.125 \cdot 10^{15}$ см⁻² и температуры до 500° С приводит к образованию $MoSi_2$ с тетрагональной кристаллической решеткой, а также Si_3Mo_5 и $MoP_{0.75}$. Образование при отжиге Si_3Mo_5 вызвано тем, что ионы P^+ с E_2 = 100 кэВ вызывают при облучении большое количество атомов отдачи Mo.

К тому же, при $D_2=3.125\cdot 10^{15}$ см⁻² облучение ионами P^+ приводит к появлению слоя $MoSi_2$ ещё до отжига системы. А при отжиге происходит увеличение толщины $MoSi_2$, о чем свидетельствует увеличение относительной интенсивности рефлексов, принадлежащих этой фазе. Особенно-

стью облученной ионами P+ системы Mo/Si является отсутствие слоев оксида, которые разрушаются потоками как первичных ионов P+, так и атомами отдачи Mo. Дислокационная сетка, формирующаяся в этом случае в активной области структур, имеет в 3 раза меньший размер ячеек, границы которых в большинстве случаев близки к направлениям <110> кристаллической решетки Si (рис. 36).

Заключение

Облучение ионами P^+ системы Mo/Si приводит к сложным структурным и фазовым изменениям переходного слоя. При ориентации длинной стороны окна в активной структуре шириной b в SiO_2 по направлению <110> образующиеся при отжиге внеконтурные дислокации распространяются за пределы окна только с одной его стороны. Дислокационная сетка, формирующаяся при облучении ионами P^+ системы Mo/Si с последующим отжигом в активной области структур, имеет в 3 раза меньший размер ячеек, границы которых в большинстве случаев близки к направлениям <110> кристаллической решетки Si.

Список литературы

- 1.Технология ионного легирования. / Пер. с япон.; под ред. П.В. Павлова. М. 1974.
- 2. *Челядинский А.Р., Комаров Ф.Ф. //* УФН. 2003. Т. 173. № 8. С. 813-846.
- 3. Данилов В.Ф., Снитовский Ю.П., Рассадин А.А., Калиновченко В.П. // А. с. 897048 СССР с пр. 09 09 1980
- 4. *Снитовский Ю.П.* // Электрон. промышленность 1992. № 1. С. 59–60.
- 5. *Снитовский Ю.П., Ходарина Л.П. //* Докл. БГУИР. 2017. № 1. С. 5-12.
- 6. *Ходарина Л.П., Зеленин В.А., Гурский Л.И. //* Докл. БГУИР. 2009. № 3. С. 73–78.
- 7. *Снитовский Ю.П., Портнов Л.Я.* // А. с. 683402 СССР с пр. 24.03.1978.
- 8. *Солодуха В.А., Снитовский Ю.П. //* Докл. НАН Беларуси. 2015. Т. 59. № 1. С. 112–117.
- 9. *Гурский Л.И., Зеленин В.А., Бобченок Ю.Л.* // Физика и химия обработки материалов. 1984. № 5. С. 72–75.

PECULIARITIES OF TRANSITIONAL LAYER STRUCTURE OF THE Mo/Si SYSTEM, IRRADIATED BY PHOSPHORUS IONS

Yu. P. Snitovsky, L.P. Khodarina
OAO «Integral», 121A Kazinca I.P., 220108, Minsk, Belarus, yu.snitovsky@tut.by
Physical-Technical Institute of National Academy of Sciences of Belarus,
10 Kuprevich str., 220141 Minsk, Belarus, lud_vik@bk.ru

Questions of the implantation fluency of Si(111) by of phosphorus ions influence, the effect of post-implant annealing of Si implantation and an annealing of Mo–Si system and of irradiation by phosphorus ions of generated ohmic contact of system Mo/Si and an annealing at low temperatures on the structure and phase composition of transitional layer have been considered.